



Introduction aux isolants topologiques

Laurent Lévy

Institut Néel, Université de Grenoble

Plan

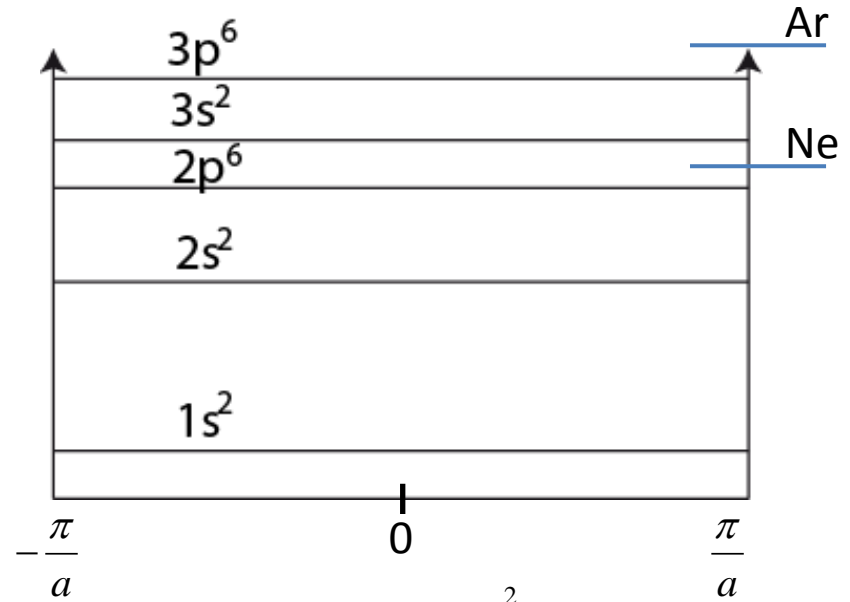
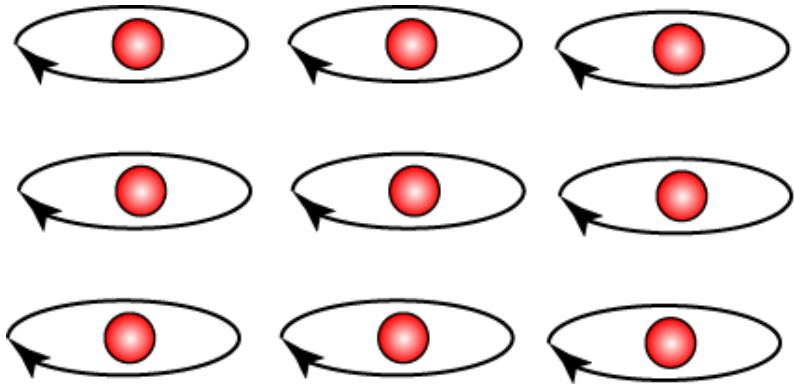
- Cours n° 1: Structure de bandes topologiques des solides
 - Structure de bande des solides; espace fibré de la physique quantique
 - Phase, courbure de Berry et indice de Chern
 - Mouvement semi-classique en présence de courbure de Berry
 - Application au mouvement en champ magnétique: mouvement semi-classique, quantification de Hall, application de la formule de Streda. Effets magnéto-galvanométriques
 - Théorème TKNN: la conductance de Hall comme invariant topologique
 - Les isolants topologique a 2D - Le modèle BZH
 - Observabilité de la phase de Berry: la polarisation électrique des solides
 - Les isolants topologiques 3D

- Cours n° 2: Les états de surface des isolants topologiques
 - 3D: l'inversion de bande et les états de surfaces; le modèle le plus simple des états de surface
 - L'ARPES (spectroscopie de photoémission résolue en angle)
 - Exemples de structure de bandes expérimentales; Bi₂Te₃, HgTe. La chiralité des états de surface (résolution en spin et dichroïsme).
 - Exemple de système polaire BiTeI: le rôle de l'interaction Rashba (spin orbite)
 - calcul réaliste de structure de bande: le modèle de Kane (semiconducteur Zinc-Blende)
 - Applications au tellure de Mercure: spectre ARPES, dichroïsme circulaire et polarisation de spin

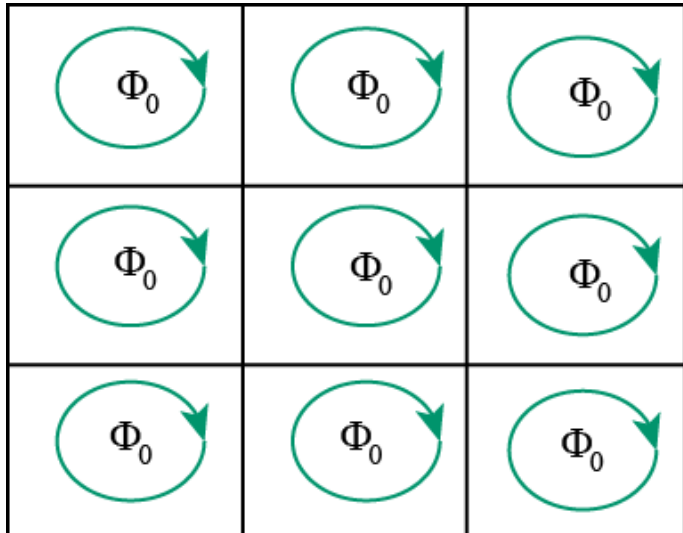
- Cours n° 3: Les propriétés de transports
 - 2D: Effet Hall de spin: expériences multicontacts, le filtrage et la détection du spin: premiers pas vers la spintronique des isolants topologiques
 - 3D: Propriétés des fermions de Dirac chiraux (différences avec le graphène)
 - L'effet de la phase de Berry et l'anti-localisation en présence de désordre
 - La quantification de Hall, le diagramme des phases de Hall des isolants topologique

Isolants vs états de Hall quantique

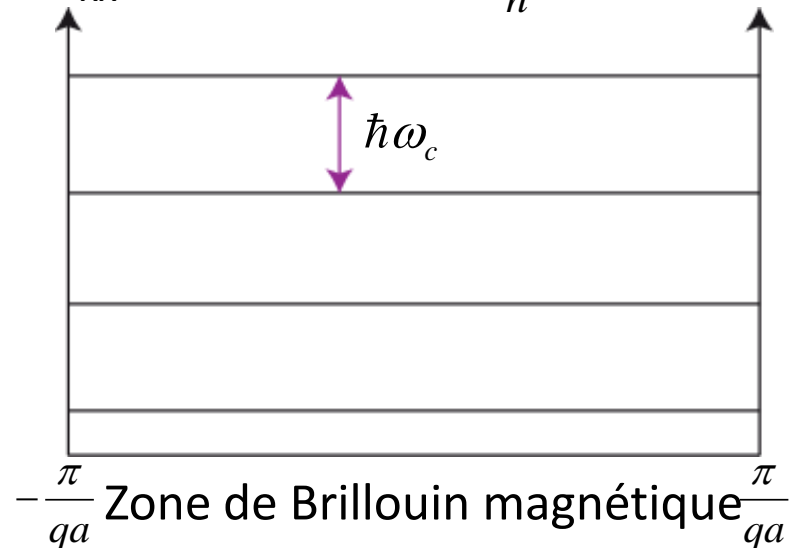
Argon solide: isolant atomique



Etat de Hall quantique: « isolant » 2D ($\sigma_{xx}=0$) **mais** $\sigma_{xy} = n \frac{e^2}{h}$



Niveaux de Landau

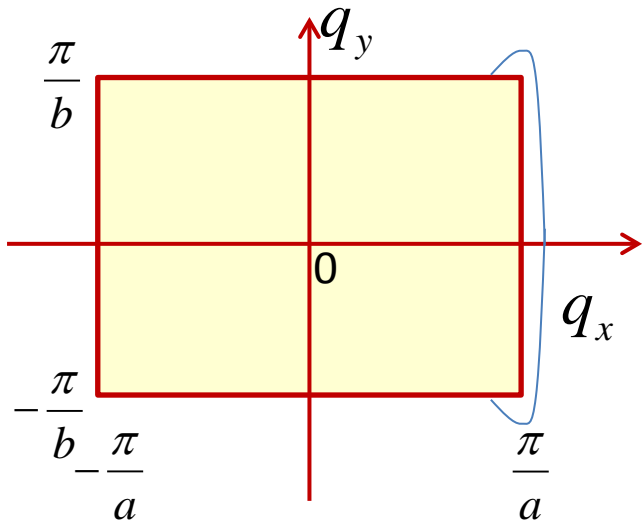


Théorie des bandes dans les solides

$$H = \frac{p^2}{2m} + V(\vec{r}) \quad V(\vec{r} + \vec{R}_n) = V(\vec{r})$$

Théorème de Bloch

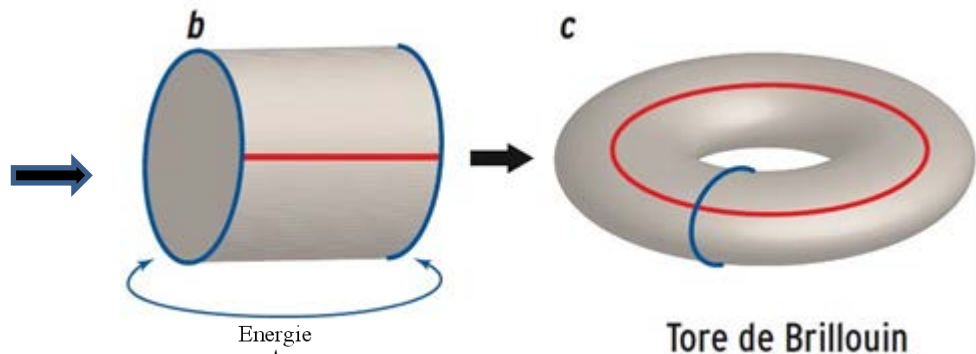
$$T(\vec{R}_n)|\psi_{\vec{q}}\rangle = e^{i\vec{q}\cdot\vec{R}_n}|\psi_{\vec{q}}\rangle, |\psi_{\vec{q}}\rangle = e^{i\vec{q}\cdot\vec{r}}|u_{\vec{q}}\rangle \quad H(\vec{q}) = e^{-i\vec{q}\cdot\vec{r}} H e^{i\vec{q}\cdot\vec{r}} \quad H(\vec{q})|u_{\vec{q}}^n\rangle = \varepsilon_n|u_{\vec{q}}^n\rangle$$



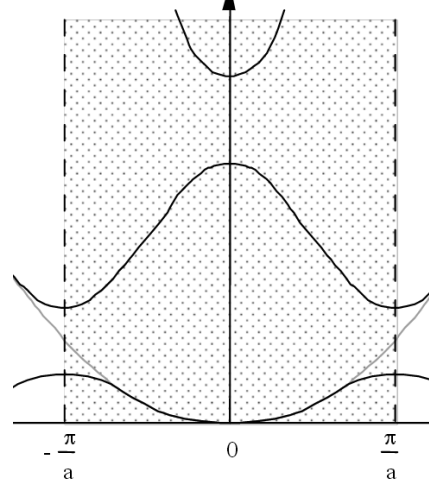
Structure de bande

Correspondance

$$\vec{q} \rightarrow \{\varepsilon_n(q), u_n(q)\}$$



Tore de Brillouin



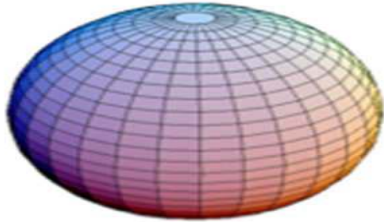
Deux représentations

$$\psi_{\vec{q}}^n(\vec{r}) = e^{i\vec{q}\cdot\vec{r}} u_{\vec{q}}^n(\vec{r}) \quad \text{Bloch}$$

$$w^n(r) = \int d^2q e^{i\vec{q}\cdot\vec{r}} u_{\vec{k}}^n(r) \quad \text{Wannier}$$

$$\psi_{\vec{q}}^n(\vec{r}) = \sum_i e^{-i\vec{q}\cdot\vec{R}_i} w^n(\vec{r} - \vec{R}_i)$$

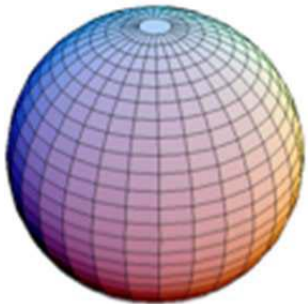
Invariant de surface (théorème de Gauss-Bonnet)



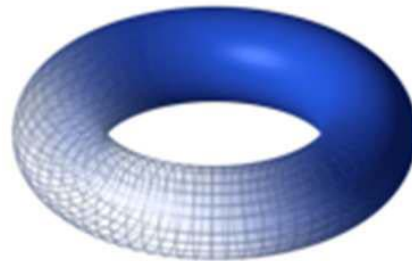
Courbure gaussienne

$$\kappa = \frac{1}{R_1 R_2} \quad R_1, R_2 \text{ rayons de courbure locale}$$

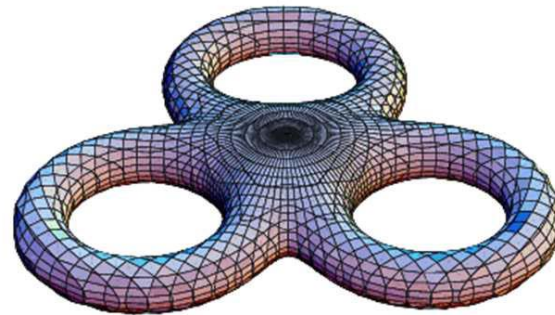
Surfaces fermées: théorème de Gauss-Bonnet



$$g = 0$$



$$g = 1$$



$$g = 3$$

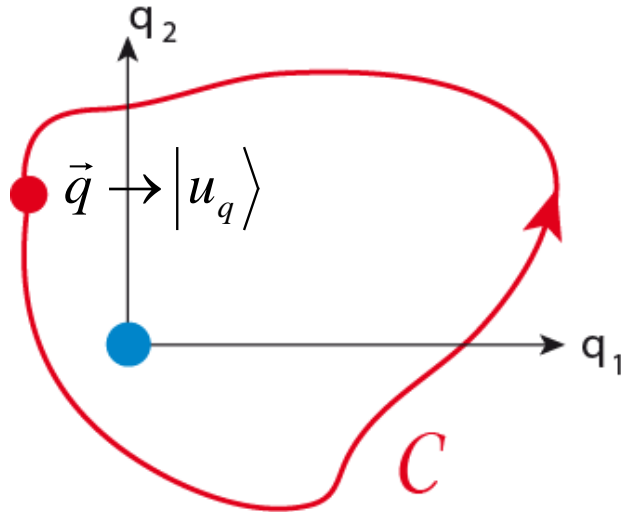
$$\iint_S d^2 S \kappa = 2\pi(2 - 2g) \quad g, \text{ genre de la surface (entier} \equiv \text{nombre de trous)}$$

Généralisation: indice de Chern des espaces fibrés

L'espace fibré de la physique quantique

$$H = \gamma \vec{\sigma} \cdot \vec{B}$$

$$H = \frac{(\hbar \vec{q} + e \vec{A})^2}{2m} + U_{res}(\vec{r})$$



$$[\vec{q}, H] = 0 \quad H|u_q\rangle = \varepsilon_q|u_q\rangle$$

$$P|u_q\rangle = \hbar q|u_q\rangle$$

Espace des états $\{ |u_q\rangle \}$ (espace de Hilbert)

Espace fibré: correspondance entre

q (Zone de Brillouin, paramètres (B, V_g))

→ Espace des états $\{ |u_q\rangle \}$

Topologie: propriétés globales de cette correspondance

Cas importants: l'espace sous-jacent (Zone de Brillouin, paramètres (flux magnétique, charge) est périodique

La phase de Berry en physique quantique

Ambigüité de la phase en physique quantique

$$|u_q\rangle \rightarrow e^{i\phi_q} |u_q\rangle$$

$$|u_{q0}\rangle \rightarrow e^{i\gamma_C} |u_{q0}\rangle$$

$$\gamma_C = i \oint_C \langle u_q | du_q \rangle$$

Phase de Berry transport parallèle

Connection de Berry Courbure de Berry

$$\vec{A}(\vec{q}) = i \langle u_{\vec{q}} | \vec{\nabla}_{\vec{q}} | u_{\vec{q}} \rangle$$

$$\vec{F} = \vec{\nabla}_{\vec{q}} \times \vec{A}_{\vec{q}}$$

Comme un potentiel vecteur

$$|u_q\rangle \rightarrow e^{i\phi_q} |u_q\rangle, \vec{A}(\vec{q}) \rightarrow \vec{A}(\vec{q}) + \vec{\nabla} \phi_q$$

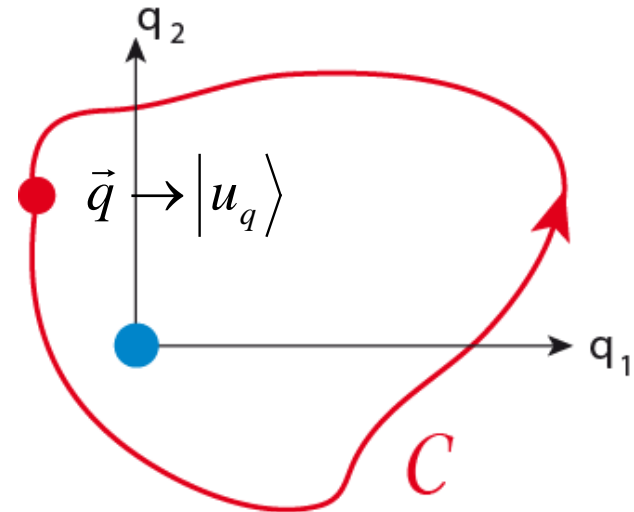
γ_C ne dépend pas du choix de la phase de $|u_q\rangle$

$$\gamma_C = \iint_C \vec{F} \cdot \hat{n} dS$$

Flux de F à travers la surface C



devient l'indice de Chern pour des surfaces fermées



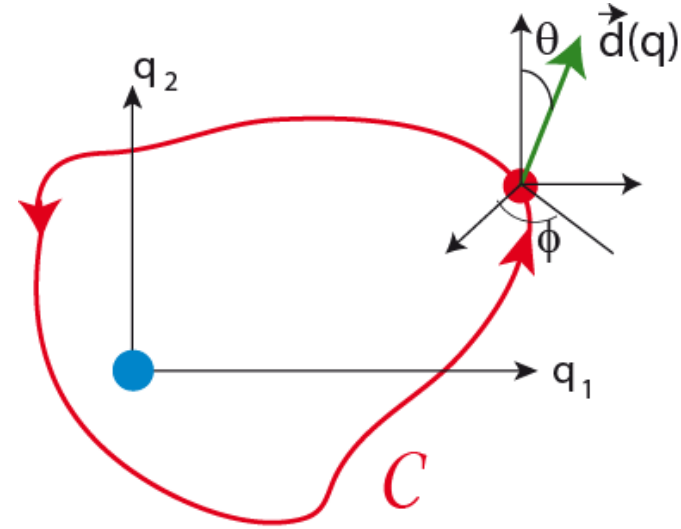
Exemple important: la phase de Berry des spins-1/2

La phase de Berry de deux bandes (spin-1/2)

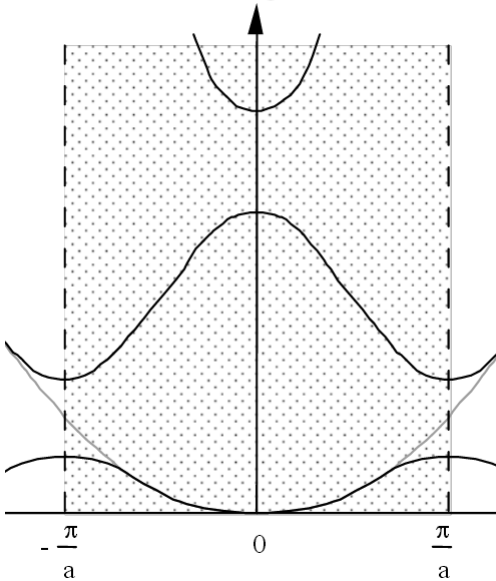
$$H(\vec{q}) = \vec{\sigma} \cdot \vec{d}(\vec{q}) = \begin{pmatrix} d_z(\vec{q}) & d_-(\vec{q}) \\ d_+(\vec{q}) & -d_z(\vec{q}) \end{pmatrix}$$

$$\varepsilon_{\pm}(\vec{q}) = \pm |\vec{d}(\vec{q})|$$

$$|+\rangle_q = \begin{pmatrix} \cos\left(\frac{\theta_q}{2}\right) \\ e^{i\phi} \sin\left(\frac{\theta_q}{2}\right) \end{pmatrix}, |-\rangle_q = \begin{pmatrix} -\sin\left(\frac{\theta_q}{2}\right) \\ e^{i\phi} \cos\left(\frac{\theta_q}{2}\right) \end{pmatrix},$$



Energie



→
Cas d'une rotation de d autour de z
(θ const),

$$d|+\rangle_q = i \begin{pmatrix} 0 \\ e^{i\phi} \sin\left(\frac{\theta_q}{2}\right) \end{pmatrix} d\phi$$

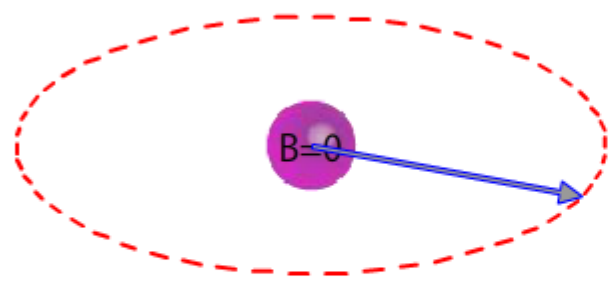
angle solide convert
par d

$$\gamma_C = i \oint_C \langle + | d | + \rangle_q = -\sin^2 \frac{\theta}{2} \int_0^{2\pi} d\phi = \pi(1 - \cos \theta) = \Omega$$

Phase de Berry d'un spin 1/2 dans un champ magnétique tournant: ruban de Moebius

$$H = B_x \sigma_x + B_z \sigma_z$$

$\cdot d\ell$



$$|\uparrow\rangle = \begin{bmatrix} \cos(\theta/2) \\ \sin(\theta/2) \end{bmatrix}$$



$$\phi_B = \int \langle \chi_{\uparrow}(\theta) | \underbrace{\partial_{\theta}}_{\vec{A}} \chi_{\uparrow}(\theta) \rangle d\theta =$$

Cas d'un spin dans un champ magnétique orientable (sphère → sphère): notion d'indice de Chern

$$H = \frac{b}{2} \vec{\sigma} \cdot \hat{B} \quad \varepsilon_{\pm} = \pm \frac{b}{2}$$

$$|+\rangle = \begin{pmatrix} \cos\left(\frac{\theta}{2}\right) \\ e^{i\phi} \sin\left(\frac{\theta}{2}\right) \end{pmatrix}, |-\rangle = \begin{pmatrix} -\sin\left(\frac{\theta}{2}\right) \\ e^{i\phi} \cos\left(\frac{\theta}{2}\right) \end{pmatrix},$$

$$\vec{\nabla}|+\rangle = \frac{1}{2} \begin{pmatrix} -\sin\left(\frac{\theta}{2}\right) \\ e^{i\phi} \cos\left(\frac{\theta}{2}\right) \end{pmatrix} \hat{e}_{\theta} + \frac{i}{b \sin \theta} \begin{pmatrix} \cos\left(\frac{\theta}{2}\right) \\ e^{i\phi} \sin\left(\frac{\theta}{2}\right) \end{pmatrix} \hat{e}_{\phi}$$

$$\vec{A}_{|+\rangle}^N = \langle + | \vec{\nabla} | + \rangle = \frac{\cos \theta - 1}{2b \sin \theta} \hat{e}_{\phi} \quad \vec{A}_{|+\rangle}^S = \langle + | \vec{\nabla} | + \rangle = \frac{1 + \cos \theta}{2b \sin \theta} \hat{e}_{\phi}$$

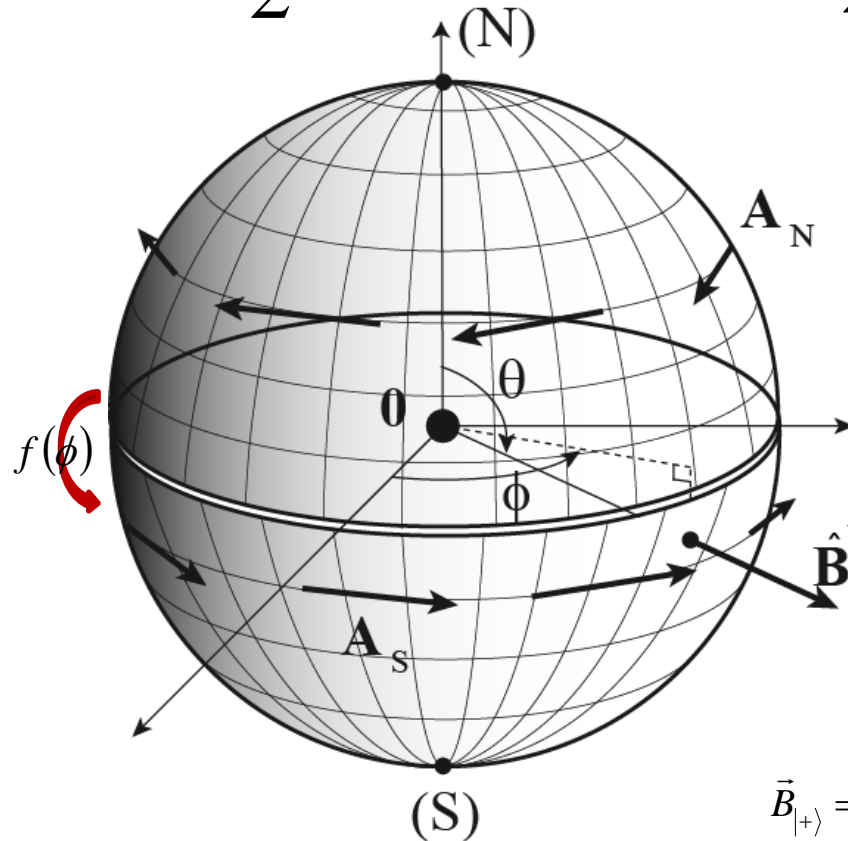
Vector potential of a monopole of "charge" $\frac{1}{2}$

$$\vec{B}_{|+\rangle} = \vec{\nabla} \times \vec{A}_{|+\rangle} = -\frac{\vec{b}}{2|b|^3}$$

$$\vec{\nabla} \cdot \vec{B}_{|+\rangle} = -\frac{1}{2} \delta(\vec{b})$$

$$C_{|+\rangle} = \frac{1}{2\pi} \iint \vec{B} \cdot \hat{n} dS = -\frac{1}{2\pi} \frac{1}{2b^2} 4\pi b^2 = -1$$

$$C_{|-\rangle} = 1$$



$$f(\phi) = A^N\left(\frac{\pi}{2}, \phi\right) - A^S\left(\frac{\pi}{2}, \phi\right) = -\frac{1}{b}$$

$$\int_0^{2\pi} f(\phi) d\phi = -\frac{1}{b} \times 2\pi b = 2\pi C$$

Mouvement semiclassique des états de Bloch

Rappel: états de Bloch dans un potentiel périodique

$$\psi_{\vec{q}}^n(\vec{r}) = e^{i\vec{q}\cdot\vec{r}} u_q^n(\vec{r}) \quad \text{Connection de Berry's } \vec{A}^n(\vec{q}) = i \iint d^3r u_{\vec{q}}^{n*}(\vec{r}) \vec{\nabla}_{\vec{q}} u_{\vec{q}}^n(\vec{r})$$

Position moyenne $\vec{r} = \frac{\vec{\nabla}_{\vec{q}}}{i} + \vec{A}_{\vec{q}} \quad \mathbf{F}(\vec{q}) = \vec{\nabla}_{\vec{q}} \times \vec{A}(\vec{q})$

$$[r_a, r_b] = i \varepsilon^{abc} \mathbf{F}_c(q) \quad \text{Les coordonnées ne commutent pas !}$$

$$\hbar \frac{d\vec{q}}{dt} = e\vec{E} + e \frac{d\vec{r}}{dt} \times \vec{B}$$

$$\hbar \frac{d\vec{r}}{dt} = \vec{\nabla}_q \varepsilon_n(\vec{q}) + \hbar \frac{d\vec{q}}{dt} \times \vec{F}_n$$

La courbure de Berry a le même effet dans l'espace des q qu'un champ magnétique dans l'espace réel

Dualité entre l'espace des q et l'espace réel

Effet de B et F sur le volume de l'espace des phases

$$\hbar \begin{pmatrix} \frac{e}{\hbar} \varepsilon_{abc} B^c(\vec{r}) & -\delta_a^b \\ \delta_b^a & \varepsilon_{abc} \mathbf{F}^c(\vec{q}) \end{pmatrix} \frac{d}{dt} \begin{pmatrix} r^b \\ q^b \end{pmatrix} = \begin{pmatrix} \nabla_a U(\vec{r}) \\ \nabla_{q_a} \varepsilon_n(\vec{q}) \end{pmatrix}$$

$$-i \begin{pmatrix} [q_a, q_b] & [q_a, r_b] \\ [r_a, q_b] & [r_a, r_b] \end{pmatrix}$$

Crochets de Poisson
(commutateurs)

Jacobien

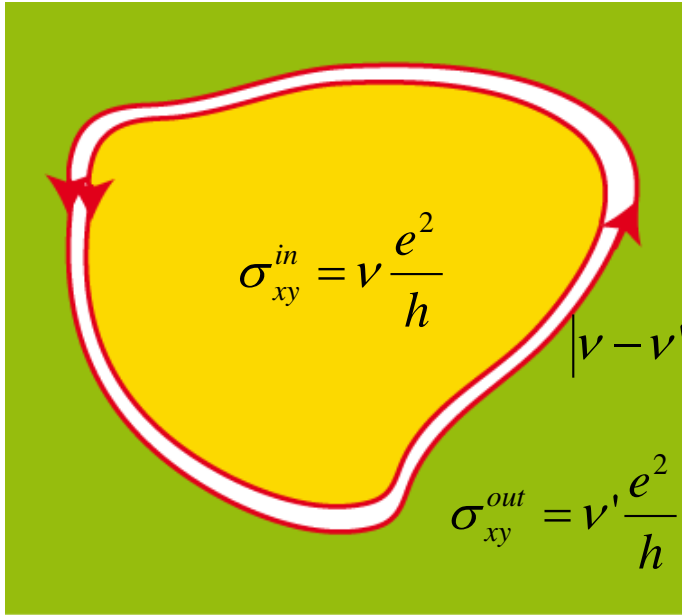
$$J(\vec{q}) = \det|\dots| = 1 + \varepsilon_{abc} \mathbf{F}^b(\vec{q}) \frac{eB^c}{\hbar}$$

$$\begin{pmatrix} \nabla_a H(\vec{r}, \vec{q}) \\ \nabla_{q_a} H(\vec{r}, \vec{q}) \end{pmatrix}$$

$$H(\vec{r}, \vec{q}) = \varepsilon_n(\vec{q}) + U(\vec{r})$$

Affecte le volume à intégrer
dans l'espace des phases

Formule de Strěda



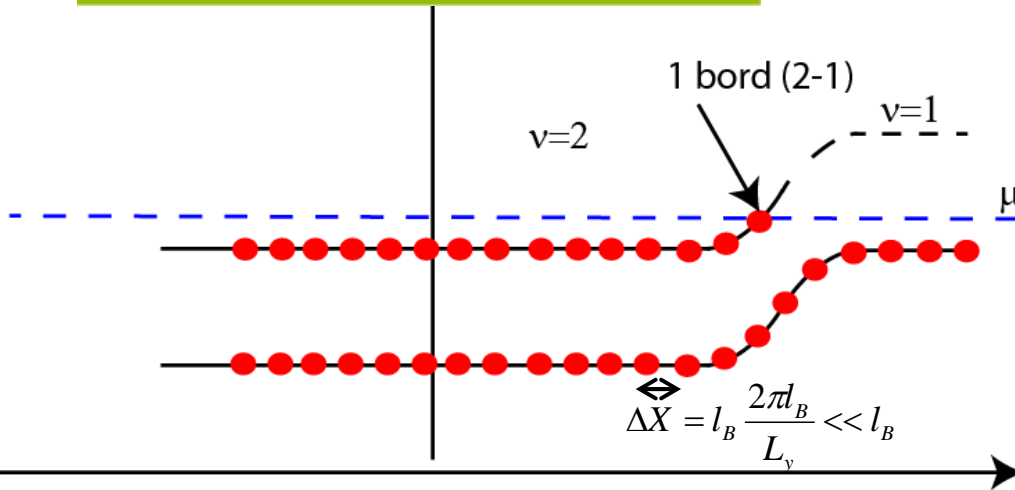
$$\sigma_{ab} = \left(\frac{\partial J_a}{\partial E_b} - \frac{\partial J_b}{\partial E_a} \right) = \frac{e^2}{h} \varepsilon_{abc} \frac{K_c}{2\pi} \quad (\text{compressibilit })$$

$$\frac{K_c}{2\pi} = \frac{h}{e} \frac{\partial n}{\partial B} \Big|_{\mu, T=0} \quad n = \iint d^2 q J(\vec{q}) n(\vec{q}) \quad \text{occupation de Fermi}$$

 tats de bords chiraux

Filaments de largeur l_B , le long d' quipotentiell

Jauge de Landau $\vec{A} = Bx\hat{y}$ $\hbar v_y = \frac{\partial \varepsilon_q}{\partial q} = \frac{\partial U(X_q)}{\partial q}$



$$H = \frac{(p + eA)^2}{2m} + U(x) \quad X_m = \text{centre de « guidage »}$$

$$\psi_n(x, y) = \phi_n(x - X_m) e^{iq_m y}$$

$$q_m = \frac{2m\pi}{L_y}, \quad X_m = q_m l_B^2, \quad l_B = \sqrt{\frac{\hbar}{eB}}$$

Application de la formule de Strěda

Gaz d'électrons libres

$$\sigma_D = n \frac{e^2 \tau}{m} \rightarrow \sigma_{xy} = \sigma_D \frac{\omega_c \tau}{1 + \omega_c^2 \tau^2} \approx \frac{\sigma_D}{\omega_c \tau} = \frac{ne}{B} \rightarrow \rho = ne = \sigma_{xy} B$$

$$K = \frac{\partial \rho}{\partial B} = \sigma_{xy}$$

Effet Hall quantique (porteurs massiques)

niveaux de Landau $\varepsilon_n = \left(n + \frac{1}{2} \right) \frac{eB}{m}$

$$N = g \frac{\Phi}{\Phi_0} = g \frac{e}{h} BS$$

$$\sigma_{xy} = \frac{\partial \rho}{\partial B} = \nu \frac{e^2}{h}$$

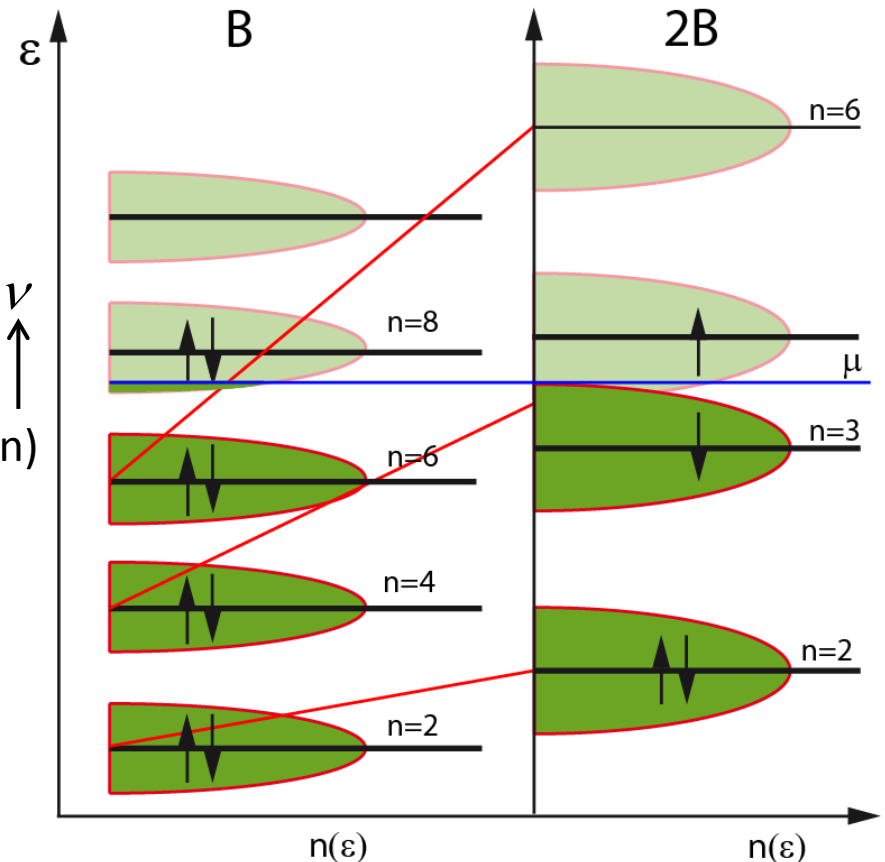
$$\rho = ne = e \frac{N}{S} = \frac{e^2}{h} B \nu$$

de niveaux de Landau remplis (incl. deg. de spin)

électrons sans int. sans états étendus
au niveau de Fermi: ν entier

Généralisation (FQHE)

$$\nu = \frac{q}{2q+1}, \frac{q+1}{2q+1} \quad q \text{ de niveaux de fermions composites remplis}$$

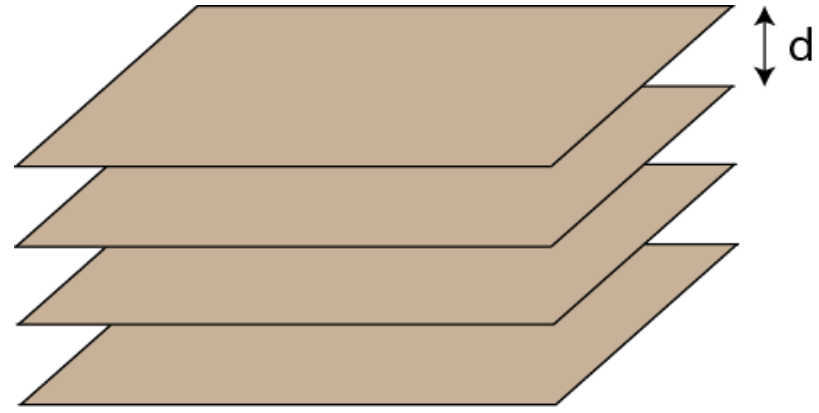


Application de la formule de Strěda – cont.

Généralisation a 3D

Pas d'états étendus (bulk) au niveau de Fermi

Réseau de plans 2D périodiques
(organiques, graphène)



$$\sigma_{ab} = \frac{1}{2\pi} \frac{e^2}{h} \varepsilon_{abc} G^c \rightarrow \frac{e^2}{h} \frac{n}{d}$$

$$G = \frac{2\pi}{d} \text{ vecteur du réseau réciproque}$$

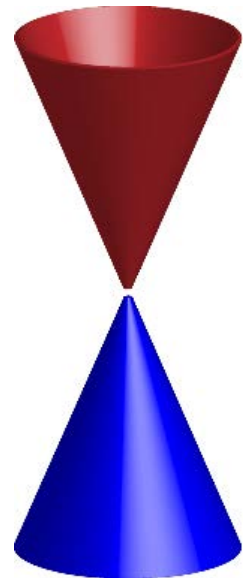
Graphene, états de surface des isolants topologique

$$\varepsilon(q) = \hbar c q \quad \varepsilon_n = \hbar c \sqrt{2enB}$$

$$N = g \frac{\Phi}{\Phi_0} = g \frac{e}{h} BS \quad \rho = ne = e \frac{N}{S} = \frac{e^2}{h} B \nu$$

$$\sigma_{xy} = \frac{\partial \rho}{\partial B} = \nu \frac{e^2}{h}$$

Même résultat que pour les électrons massiques



Analyse des trajectoires a la surface de Fermi

Exemples de surfaces de Fermi

$$\hbar \frac{d\vec{q}}{dt} = e \frac{d\vec{r}}{dt} \times \vec{B}$$

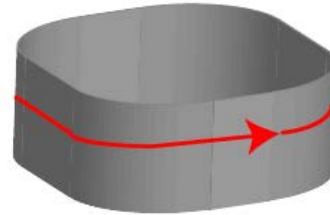
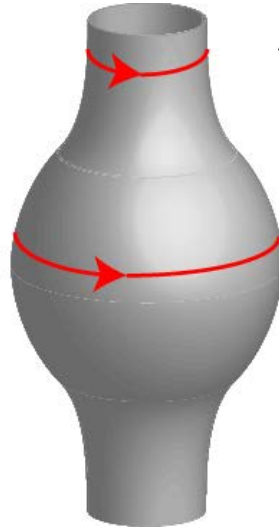
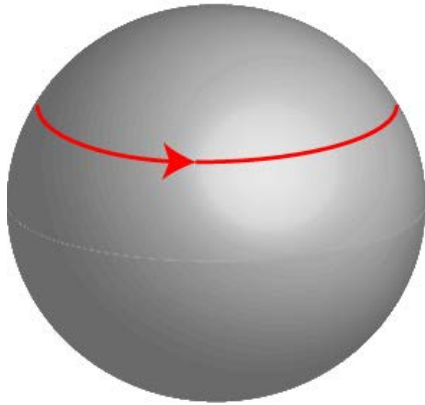
$$\hbar \frac{d\vec{r}}{dt} = \vec{\nabla}_{\vec{q}} \varepsilon_n(\vec{q})$$

$$\frac{d\vec{q}}{dt} \perp B, \frac{d\vec{r}}{dt}$$

$$\frac{d\vec{q}}{dt} \cdot \vec{\nabla}_{\vec{q}} \varepsilon(\vec{q}) = 0$$

Mouvement
à énergie
constante

(reste vrai si F≠0)



$$\hbar dq = \frac{e}{\hbar} \left| \nabla_{\vec{q}}^{\perp} \varepsilon_n \right| B dt = \frac{e}{\hbar} \frac{\delta \varepsilon}{\delta q} B dt$$

$$dt = \frac{\hbar^2}{eB} \frac{dq \delta q}{\delta \varepsilon} = \frac{\hbar^2}{eB} \frac{\delta S}{\delta \varepsilon}$$

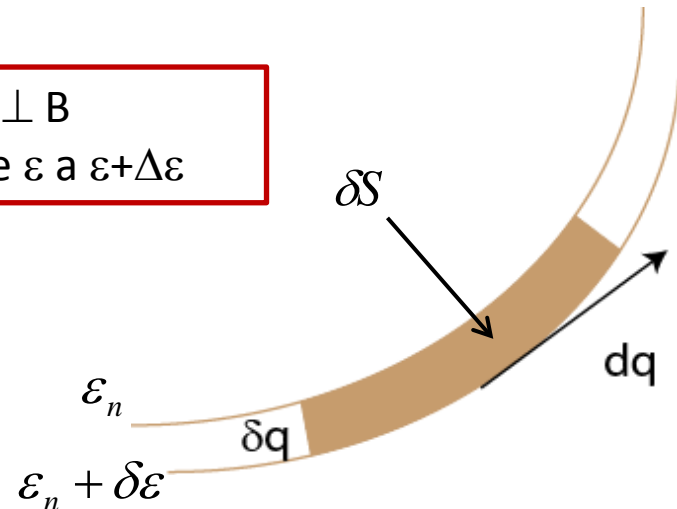
$$T = \frac{\hbar^2}{eB} \frac{\Delta S}{\Delta \varepsilon}$$

Variation de l'aire $\perp B$
lorsqu'on passe de ε a $\varepsilon + \Delta \varepsilon$

Cas simple

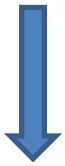
$$\varepsilon = \frac{\hbar^2}{2m_*} (q_x^2 + q_y^2 + q_z^2) = \frac{\hbar^2}{2m_*} q_z^2 + \frac{\hbar^2}{2\pi m_*} S(\varepsilon)$$

$$\frac{\delta S}{\delta \varepsilon} = \frac{2\pi m_*}{\hbar^2}, T = \frac{2\pi m_*}{eB}, \omega_c = \frac{eB}{m_*}$$



Quantification des orbites

$$\varepsilon = \frac{\hbar^2}{2m_*} (q_x^2 + q_y^2 + q_z^2) = \frac{\hbar^2}{2m_*} q_z^2 + \frac{\hbar^2}{2\pi m_*} S(\varepsilon)$$



Semiclassique

$$\oint \vec{p} \cdot d\vec{r} = (n + \gamma) 2\pi\hbar$$

$$\hbar \frac{d\vec{q}}{dt} = e \frac{d\vec{r}}{dt} \times \vec{B}, \hbar(q - K) = e\vec{r} \times \vec{B}$$

$$S_n = \frac{2\pi e B}{\hbar} (n + \gamma)$$

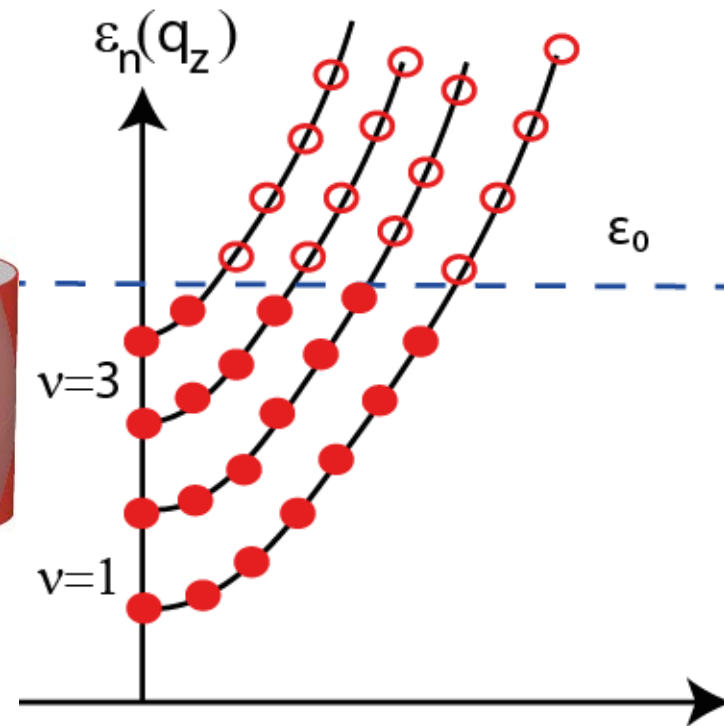
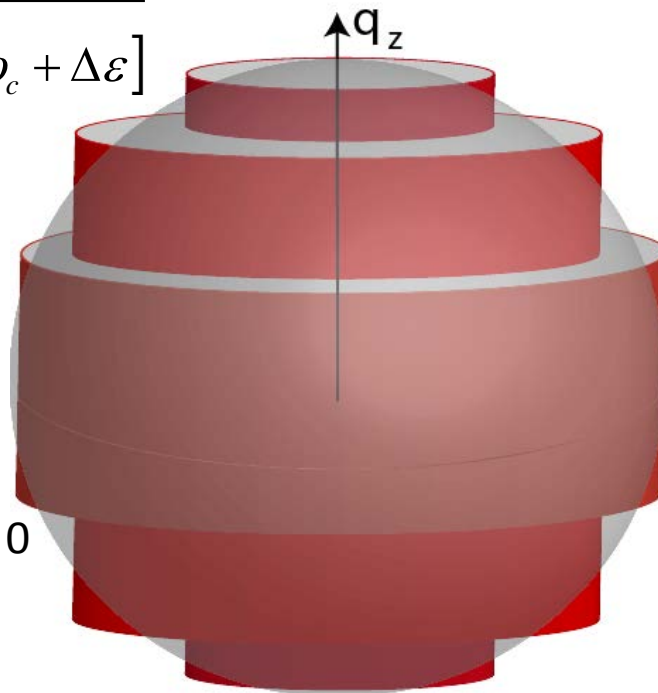


$$\varepsilon_n(q_z) = \frac{\hbar^2}{2m_*} q_z^2 + \hbar\omega_c (n + \gamma)$$

$$q_z(n) = \sqrt{\frac{2m}{\hbar^2} [(n_{\max} - n)\hbar\omega_c + \Delta\varepsilon]}$$

Densité d'états: a ε_0
donné, sélection des
 $q_z(n)$ tel que
 $\varepsilon_n(q_z(n)) = \varepsilon_0$

Pour ε_0 donne, n varie de 0
a nmax



Calcul de la densité d'états

$$\frac{dN}{d\varepsilon} = \frac{2L_z}{2\pi} \frac{L_x L_y}{\Phi_0} \sum_{n=0}^{n_{\max}} \frac{dq_z(n, \varepsilon)}{d\varepsilon}$$

$$d\varepsilon_n(q_z) = \frac{\hbar^2}{m_*} q_z(n) dq_z(n), \quad \frac{dq_z(n)}{d\varepsilon} = \frac{m_*}{\hbar^2 q_z(n)}$$

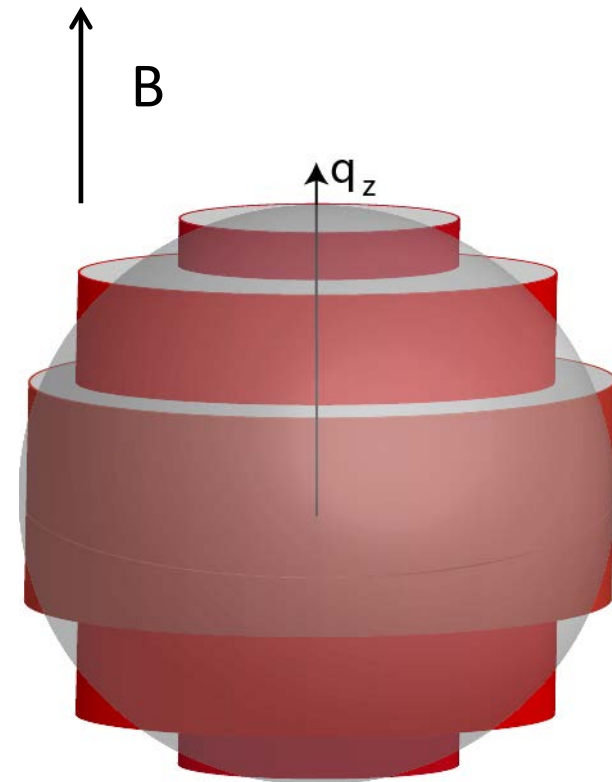
$$\begin{aligned} \frac{dn}{d\varepsilon} &= \frac{m_*}{\pi \hbar^2 \Phi_0} \sum_{n=0}^{n_{\max}} \frac{1}{q_z(n)} \rightarrow \frac{m_*}{\pi \hbar^2 \Phi_0} \sqrt{\frac{\hbar^2}{2m_* \hbar \omega_c}} 2 \sqrt{\frac{\varepsilon}{\hbar \omega_c}} \\ &= \frac{(2m_*)^{3/2}}{4\pi \hbar^3} \sqrt{\varepsilon} \end{aligned}$$

Identique a celle d'un système sans champ

$$\frac{N}{V} = \frac{1}{8\pi^3} \frac{4}{3} \pi q^3 = \frac{q^3}{6\pi^2} = \frac{(2m)^{3/2}}{6\pi^2 \hbar^3} \varepsilon^{3/2}$$

$$\frac{dn}{d\varepsilon} = \frac{(2m)^{3/2}}{4\pi^2 \hbar^3} \varepsilon^{1/2}$$

Oscillations periodiques en $1/B$
 $M \rightarrow$ deHaas-van Alphen
 $\rho_{xx} \rightarrow$ Shubnikov deHaas



Par contre elle diverge lorsque $\Delta\varepsilon \rightarrow 0$
 i.e. lorsque

$$\varepsilon_n = \left(n_{\max} + \frac{1}{2} \right) \hbar \omega_c$$

$$\frac{1}{B_n} = \left(n + \frac{1}{2} \right) \frac{\hbar e}{m \varepsilon}$$

Généralisation aux structures de bandes

Opérateur $p+eA$

Jauge symétrique

$$\vec{\Pi} = \vec{p} + e\vec{A} = \begin{pmatrix} p_x - \frac{e}{2}By \\ p_y + \frac{e}{2}Bx \end{pmatrix}$$

$$\vec{A} = \begin{pmatrix} -\frac{1}{2}By \\ \frac{1}{2}Bx \end{pmatrix}$$

$$[\Pi_x, \Pi_y] = -ieB\hbar$$

$$\frac{\Pi_x}{\sqrt{eB}} \rightarrow Q, \frac{\Pi_y}{\sqrt{eB}} \rightarrow P$$

Variables canoniques conjuguées
d'un système 1D

$$\omega = \frac{dH(J)}{dJ}$$

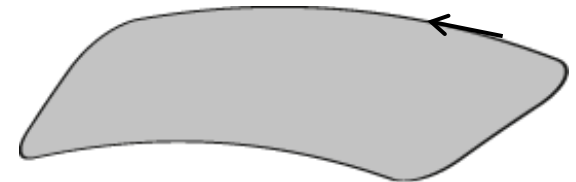
EBSK $J = \frac{1}{2\pi} \oint PdQ = \left(n + \frac{1}{2}\right)\hbar$

$$Q \rightarrow \frac{\hbar q_x}{\sqrt{eB}}, P \rightarrow \frac{\hbar q_y}{\sqrt{eB}}$$

$$J = \frac{\hbar^2}{2\pi eB} S$$

$$T = \frac{2\pi}{\omega} = \frac{2\pi eB}{\hbar^2} \frac{d\varepsilon}{dS}$$

Formule très générale



Orbite dans le plan
Q-P

Aire délimitée par la trajectoire
dans le plan Q-P

Singularité de la densité d'états

$$\frac{dn}{d\varepsilon} = \frac{B}{\pi\Phi_0} \sum_{n=0}^{n_{\max}} \frac{dq_z(n, \varepsilon)}{d\varepsilon}$$

Critère géométrique pour que $dq_z/d\varepsilon \rightarrow \infty$

$$\varepsilon = \varepsilon_n(q_z(n))$$

Orbite quantifiée

$$\frac{dS}{d\varepsilon} \delta\varepsilon + \frac{dS}{dq_z} \delta q_z = 0 \quad \leftarrow \quad S(\varepsilon, q_z) = \frac{2\pi e B}{\hbar} \left(n + \frac{1}{2} \right)$$

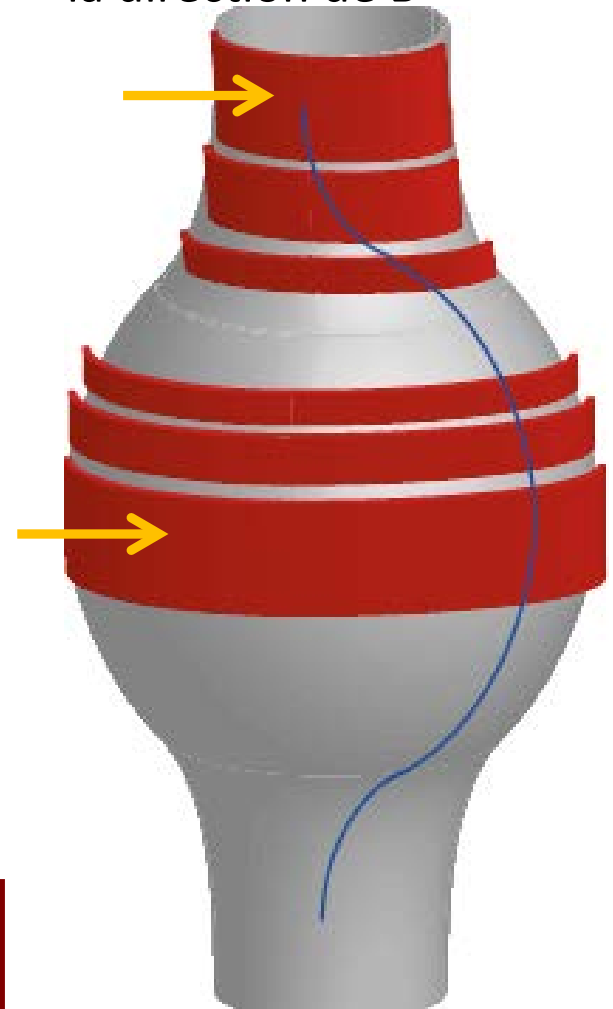
$$\frac{dq_z}{d\varepsilon} = - \frac{\frac{dS}{d\varepsilon}}{\frac{dS}{dq_z}} \rightarrow 0 \text{ pour les orbites extrémales}$$

Pour chaque surface extrêmele S_i

$$\frac{1}{B_n^i} = \frac{2\pi e}{\hbar S_i} \left(n + \frac{1}{2} \right)$$

Fréquence magnétique détermine S_i

Orbites fermées ou ouvertes suivant la direction de B



$S_i(\theta)$

Forme de la surface de Fermi

Gaz d'électrons en champ magnétique

groupe de translation magnétique

$$U(\vec{r} + \vec{R}) = U(\vec{r})$$

$$\vec{R} = n\vec{a} + m\vec{b}$$

$$T_{\vec{R}} = e^{i\vec{R} \cdot \vec{k}}$$

$$T_{\vec{R}} f(\vec{r}) = f(\vec{r} + \vec{R})$$

$$H = \frac{(\hbar\vec{k} + e\vec{A})^2}{2m} + U(\vec{r})$$

$$H = \hbar c \left\{ \left(k_x + \frac{e}{\hbar} A_x \right) \sigma_y - \left(k_y + \frac{e}{\hbar} A_y \right) \sigma_x \right\} + U(\vec{r})$$

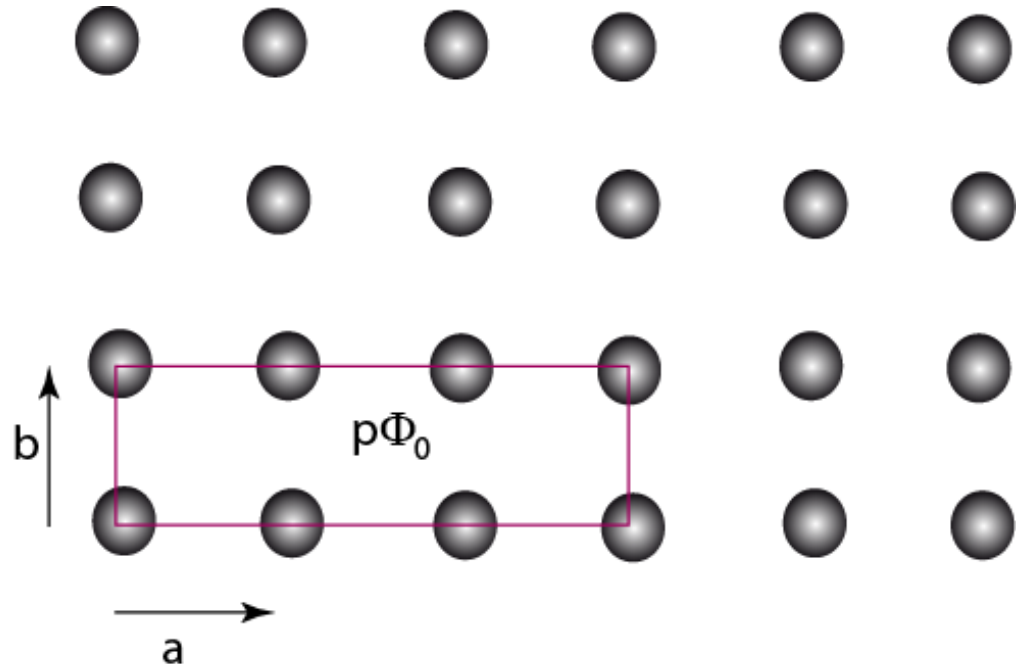
$$\vec{A} = \frac{1}{2} \vec{r} \times \vec{B}$$

$$\hat{T}_{\vec{R}} = e^{i\vec{R} \cdot \left[\vec{k} + \frac{e}{2\hbar} \vec{r} \times \vec{B} \right]} = T_{\vec{R}} e^{i \frac{e}{2\hbar} \vec{R} \times \vec{B}}$$

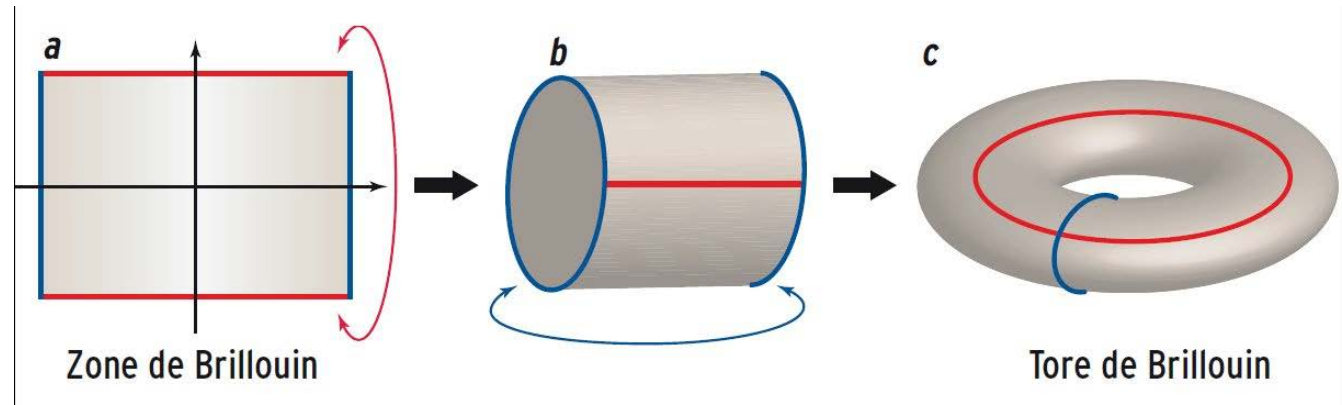
$$\hat{T}_{\vec{a}} \hat{T}_{\vec{b}} = e^{i\varphi} \hat{T}_{\vec{b}} \hat{T}_{\vec{a}} \quad \varphi = 2\pi \frac{Bab}{\Phi_0} = 2\pi \frac{p}{q}$$

Maille « magnétique »

$$\vec{R}' = nq\vec{a} + m\vec{b}$$



Cas d'un espace sous-jacent périodique (Zone de Brillouin): notion d'indice de Chern



$$H(\vec{q}) = m\mathbf{1} + \vec{\sigma} \bullet \vec{d}(\vec{q}) \quad \text{Exemple/ espace sous-jacent est 2D-périodique} \equiv \text{tore}$$

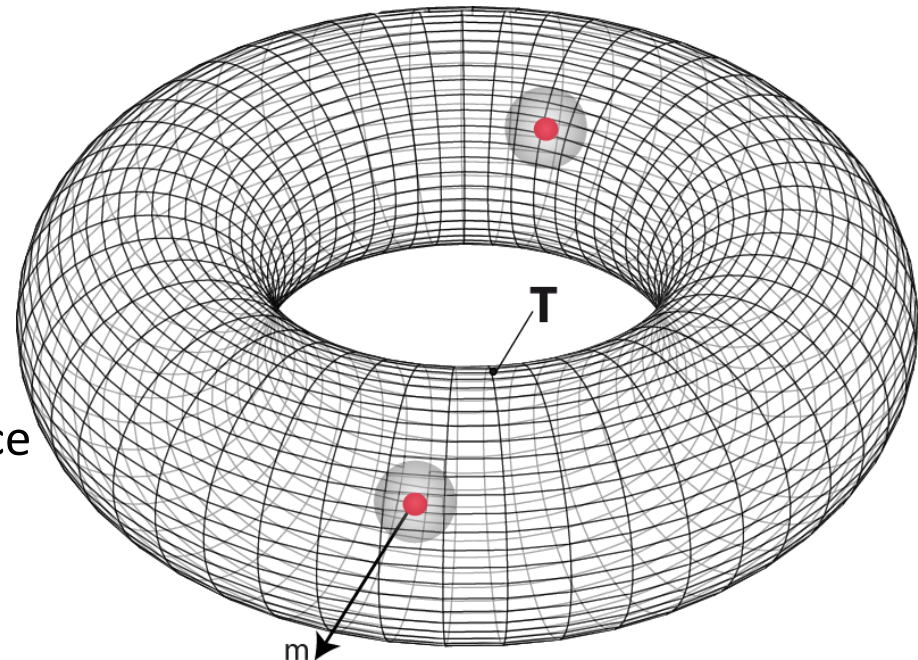
Espace des états: $SU(2) \equiv SO(3) \equiv \text{sphère}$

m : rayon du tore

● dégénérescences

● sphère autour de la dégénérescence

Indice de Chern: tore \rightarrow sphère



Expression de la conductance de Hall en terme d'invariant topologique (TKNN)

Formule de Kubo

$$\sigma_{xy} = \frac{e^2 \hbar}{i} \sum_{\alpha, \beta} \frac{\langle \alpha | v_y | \beta \rangle \langle \beta | v_x | \alpha \rangle - \langle \alpha | v_x | \beta \rangle \langle \beta | v_y | \alpha \rangle}{(E_\alpha - E_\beta)^2}$$

↑
Indice de bandes (NdL)

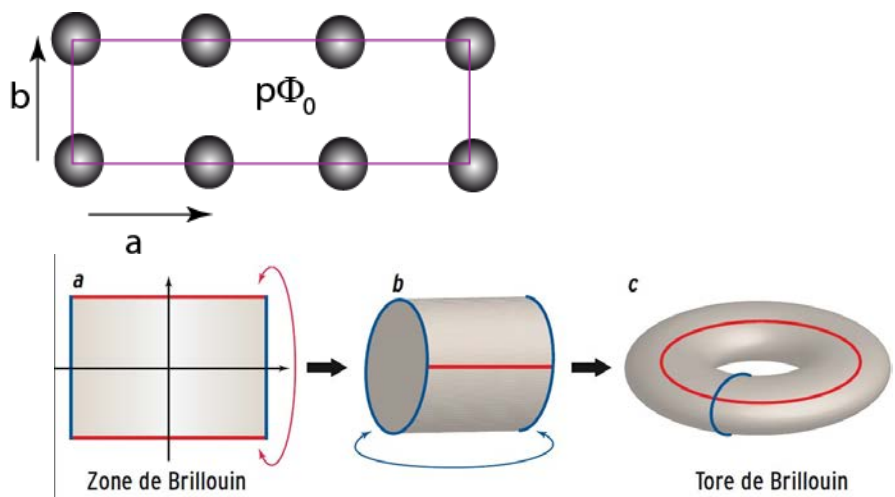
$$\langle \alpha | \vec{v} | \beta \rangle = \int_0^{qa} \int_0^b u_\alpha^* \vec{v} u_\beta dx dy$$

$$\langle \alpha | v_x | \beta \rangle = \frac{1}{\hbar} \langle \alpha | \frac{\partial \hat{H}}{\partial k_1} | \beta \rangle = (E_\beta - E_\alpha) \left\langle \alpha \left| \frac{\partial u_\beta}{\partial k_1} \right. \right\rangle$$

$$\sigma_{xy} = \frac{e^2}{i\hbar} \sum_{\alpha, \beta} \left\langle \frac{\partial u_\alpha}{\partial k_2} \middle| \beta \right\rangle \left\langle \beta \middle| \frac{\partial u_\alpha}{\partial k_1} \right\rangle - \left\langle \frac{\partial u_\alpha}{\partial k_1} \middle| \beta \right\rangle \left\langle \beta \middle| \frac{\partial u_\alpha}{\partial k_2} \right\rangle$$

def: $\vec{A}(\vec{k}) = \langle u_{\vec{k}} | \vec{\nabla} | u_{\vec{k}} \rangle$

$$\sigma_{xy}^\alpha = \frac{e^2}{h} \frac{1}{2i\pi} \int_{ZBM} d^2k (\nabla_{\vec{k}} \times A(\vec{k})) \cdot \hat{z} = \frac{e^2}{h} C_1^\alpha$$

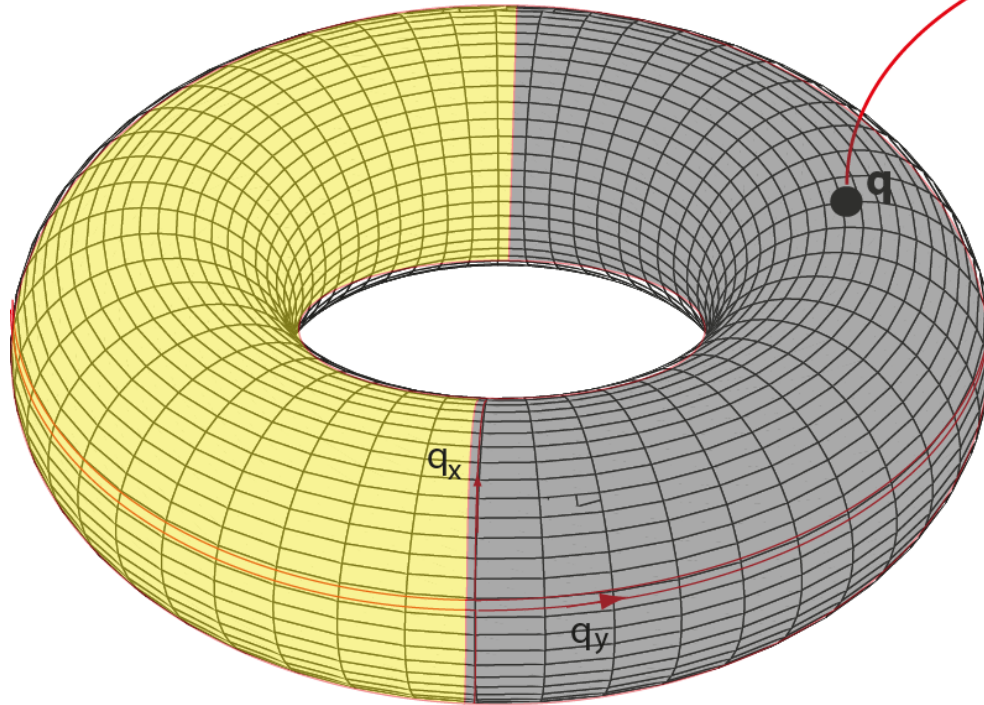


Zone de Brillouin 2D (tore) \rightarrow $SU(2) \equiv SO(3)$

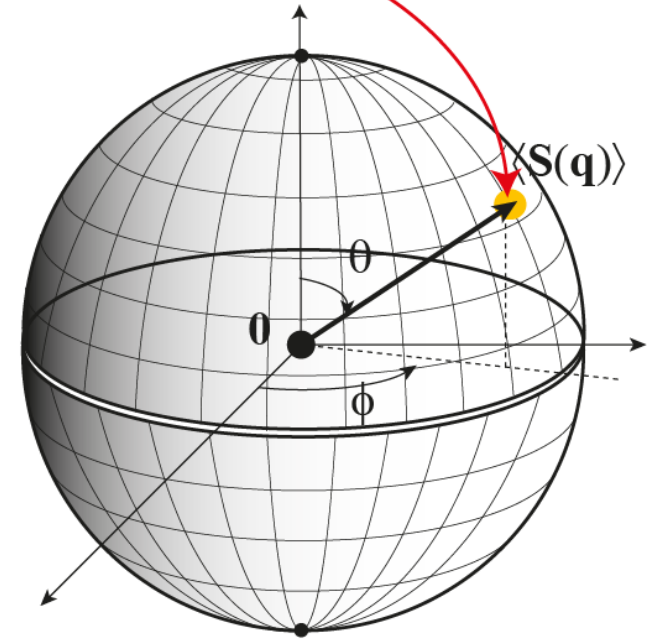
Hamiltoniens de spin des systèmes 2D: indice de Chern \equiv degré d'homotopie

Zone de Brillouin

Sphère de Bloch



$q \rightarrow \langle S(q) \rangle$



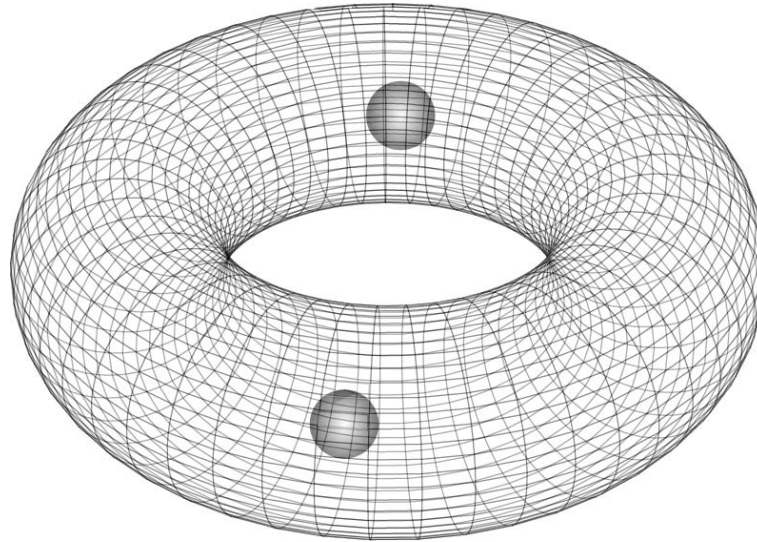
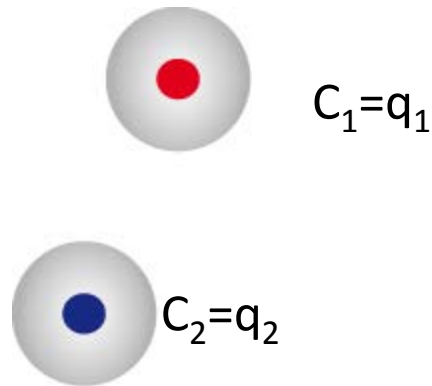
Application inverse
au voisinage de S

$$\vec{q} = \langle \vec{S}(\vec{q}) \rangle^{-1} \left. \begin{array}{l} \equiv 1 \text{ si l'orientation est préservée} \\ \equiv -1 \text{ si l'orientation est inversée} \end{array} \right\} \text{Signe du Jacobien}$$

Degré d'homotopie est la somme de ces signes

Dégénérescences \rightarrow zéros du Jacobien

L'indice de Chern (2D) \equiv nombre de dégénérescences à l'intérieur du tore



Théorème de Gauss

$$C_T - \sum_i C_i = 0$$

$$C_T = \sum_i q_i \in \mathbb{Z}$$

Changement d'indice de Chern: sortie d'une dégénérescence du tore:
Fermeture du gap en un point de la zone de Brillouin

Changement de phase autour de la maille magnétique

ψ état propre commun à H et $T_{R'}$

$$\hat{T}_{qa}\psi = e^{ik_1qa}\psi, 0 < k_1 < \frac{2\pi}{qa}$$

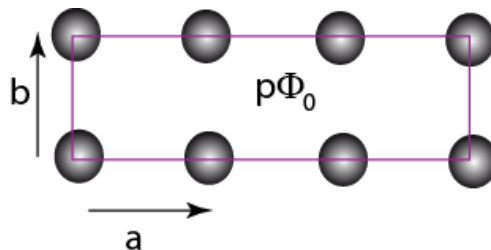
$$\hat{T}_b\psi = e^{ik_2b}\psi, 0 < k_2 < \frac{2\pi}{b}$$

Zone de Brillouin
magnétique

$$\psi_{k_1k_2}(x, y) = e^{i(k_1x+k_2y)}u_{k_1k_2}(x, y)$$

$$u_{k_1k_2}(x+qa, y) = e^{-i\pi y/b}u_{k_1k_2}(x, y)$$

$$u_{k_1k_2}(x, y+b) = e^{i\pi x/qa}u_{k_1k_2}(x, y)$$



$$u_{\vec{k}}(\vec{r}) = |u_{\vec{k}}(\vec{r})|e^{i\theta_{\vec{k}}(\vec{r})}$$

Contrainte topologique

$$\begin{aligned} \sigma_{xy}^{\alpha} &= \frac{e^2}{h} \frac{1}{2i\pi} \int_{ZBM} d^2k (\nabla_{\vec{k}} \times A(\vec{k})) \cdot \hat{z} \\ &= \frac{e^2}{h} \frac{1}{2i\pi} \oint_{ZBM} \vec{A}(\vec{k}) \cdot d\ell \end{aligned}$$

$$p = -\frac{1}{2\pi} \oint_{UM} d\vec{\ell} \cdot \vec{\nabla} \theta_{\vec{k}}$$

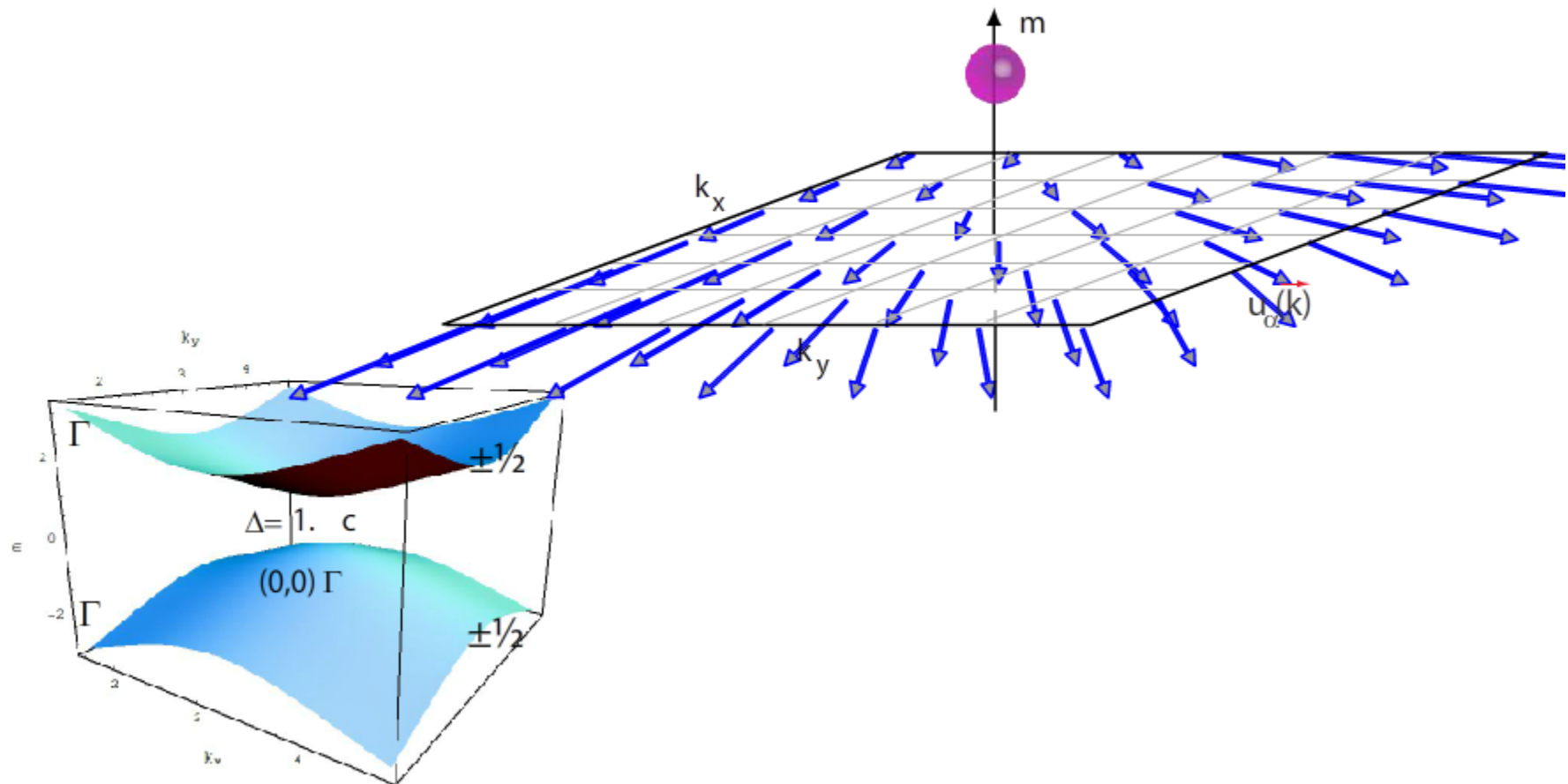
La phase fait p tours
autour de la maille magnétique

Exemple: modèle BHZ de l'effet Hall de spin

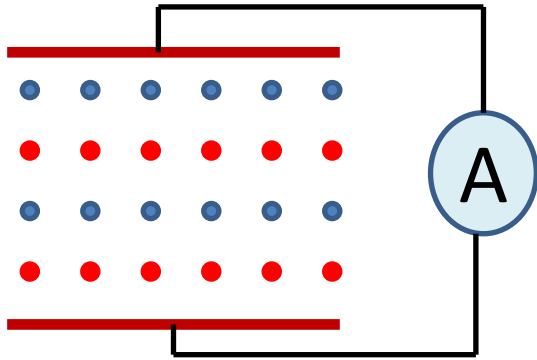
Zhang model Hamiltonian

$$H = \frac{1}{2} c - c[\cos k_x + \cos k_y] \sigma_z + \underbrace{\sin k_x \sigma_x + \sin k_y \sigma_y}_{\text{Spin-Orbit}} = \sigma \cdot \vec{d}(k)$$

$$\varepsilon = \pm |d| = m - 2c \quad \vec{d}(k) = (\sin k_x, \sin k_y, m - c[\cos k_x + \cos k_y])$$

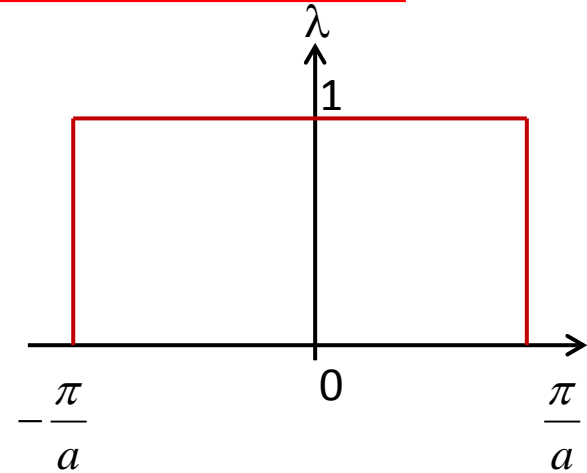


Polarisation dans les solides et phase de Berry



$$\psi^\lambda(\vec{k}, \vec{r}) = e^{i\vec{k} \cdot \vec{r}} u_{\vec{k}}^\lambda(\vec{r})$$

$$u_k^0(\vec{r}) \rightarrow u_k^\lambda(\vec{r}) \rightarrow u_\alpha^1(\vec{r})$$



transition ferroélectrique,
 λ , paramètre $0 < \lambda < 1$

Calcul du dipôle électrique

$$w^\lambda(r) = \int d^3k e^{i\vec{k} \cdot \vec{r}} u_{\vec{k}}^\lambda(r)$$

$$\langle \vec{r} \rangle_\lambda = \int d^3r r \vec{r} |w^\lambda(\vec{r})|^2 = \int d^3q \langle u_q^\lambda | \nabla_q | u_q^\lambda \rangle$$

$$P = \frac{2e}{(2\pi)^3} \langle r \rangle_\lambda$$

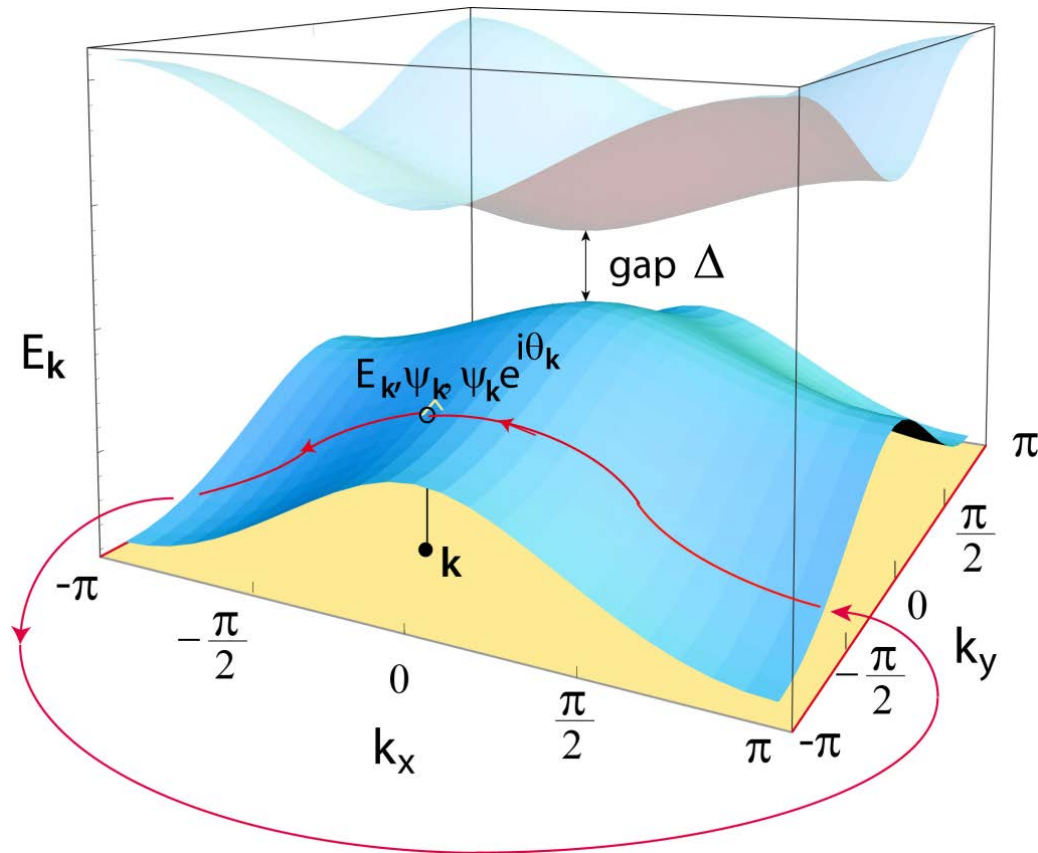
$$\Delta P = \int_0^1 \frac{\partial P}{\partial \lambda} d\lambda =$$

$$\frac{2e}{2\pi} (\varphi(\lambda=1) - \varphi(\lambda=0)) = \frac{e}{\pi} \oint_C d\varphi = e \frac{\gamma}{\pi}$$

$$\gamma = i \oint_C \langle \psi_k^\lambda | \nabla_\xi | \psi_k^\lambda \rangle d\xi$$

$$\Delta P = e \frac{\gamma}{\pi} + \Delta P_{ion}$$

Reconnection des fonctions d'ondes



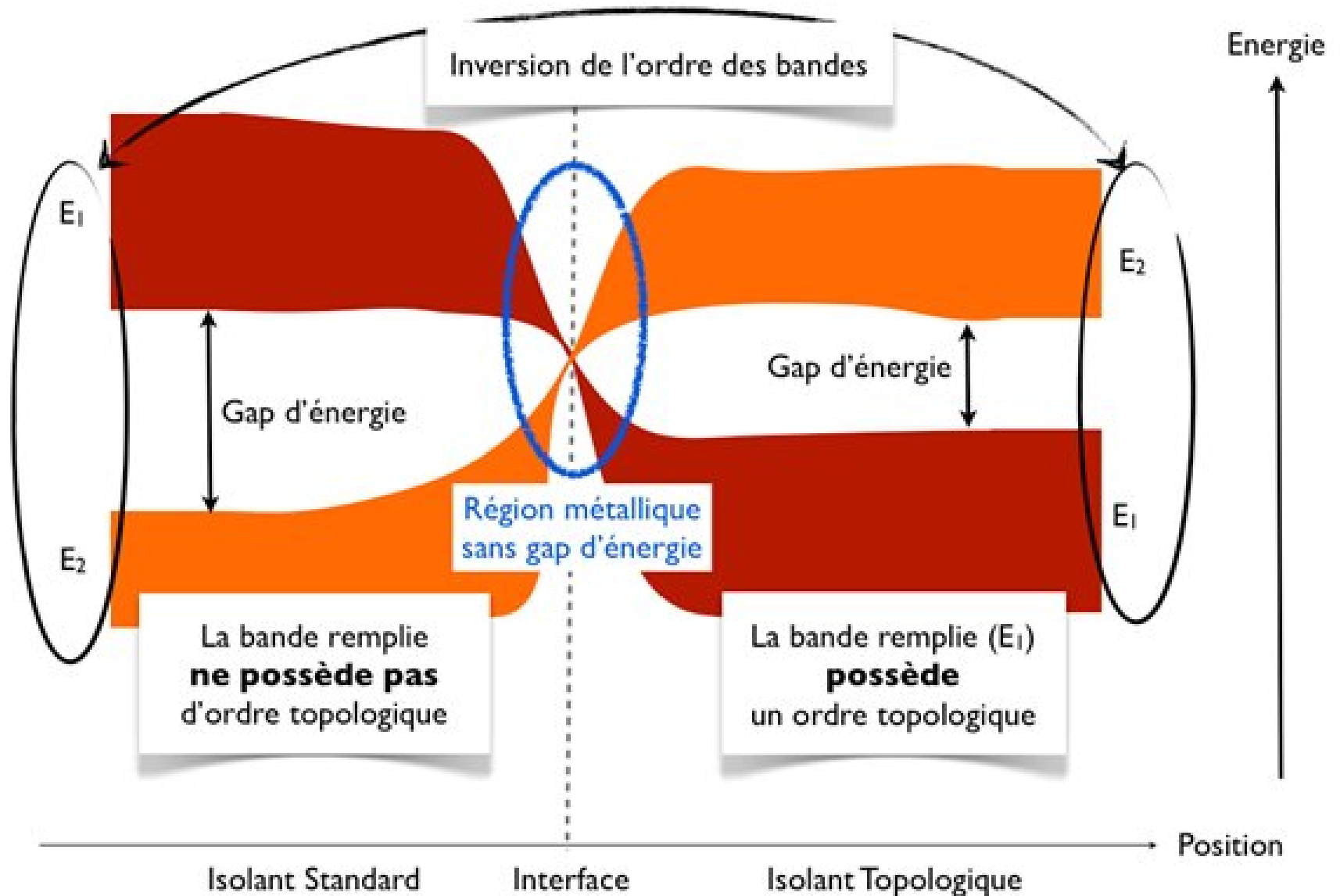
Pour une bande remplie: la phase θ de sa fonction d'onde est ± 1 . C'est l'indice de Chern de la bande

Cas 2D $C = \sum_{remplie} C_n$ entier Cas 3D $C = \pm 1 = (-1)^p$ $\boxed{Z_2}$

\boxed{Z}

p : nombre de bandes P remplies sous ε_f

Etats d'interface des isolants topologiques



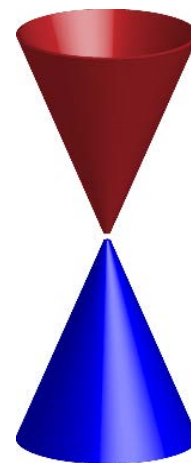
Modèle minimal pour les états de surface fermion hélicoïdaux de Dirac

$$H = \hbar c \left\{ \left(k_x + \frac{e}{\hbar} A_x \right) \sigma_y - \left(k_y + \frac{e}{\hbar} A_y \right) \sigma_x \right\} + U(\vec{r})$$

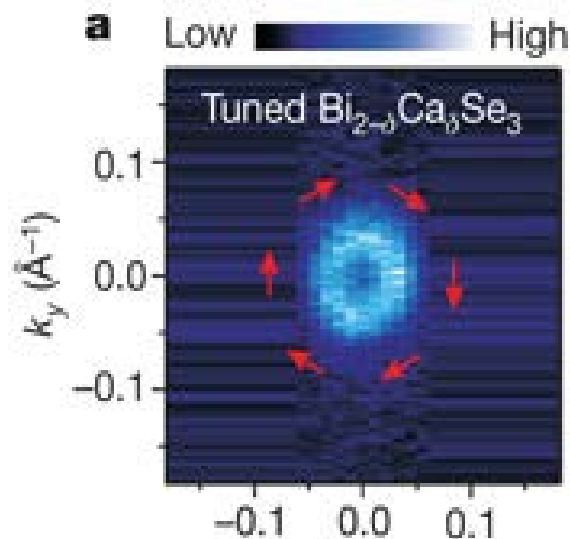
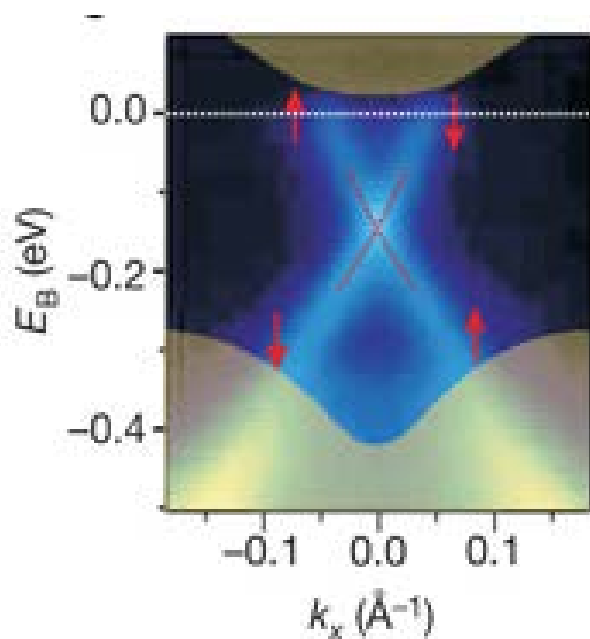
$\begin{matrix} \updownarrow \\ \Pi_x \end{matrix}$
 \updownarrow
 Π_y

$$\varepsilon = \hbar c (\langle k_x \rangle \langle \sigma_x \rangle - \langle k_y \rangle \langle \sigma_y \rangle)$$

$$= \hbar c (|k| \cos \theta \times \cos \theta - |k| \sin \theta \times [-\sin \theta]) = \hbar c |k|$$



Cas « idéal »



Confirmation expérimentale

HgTe : plusieurs
« branches »
(autres bandes)

Le modèle BHZ se généralise a 3→4 D

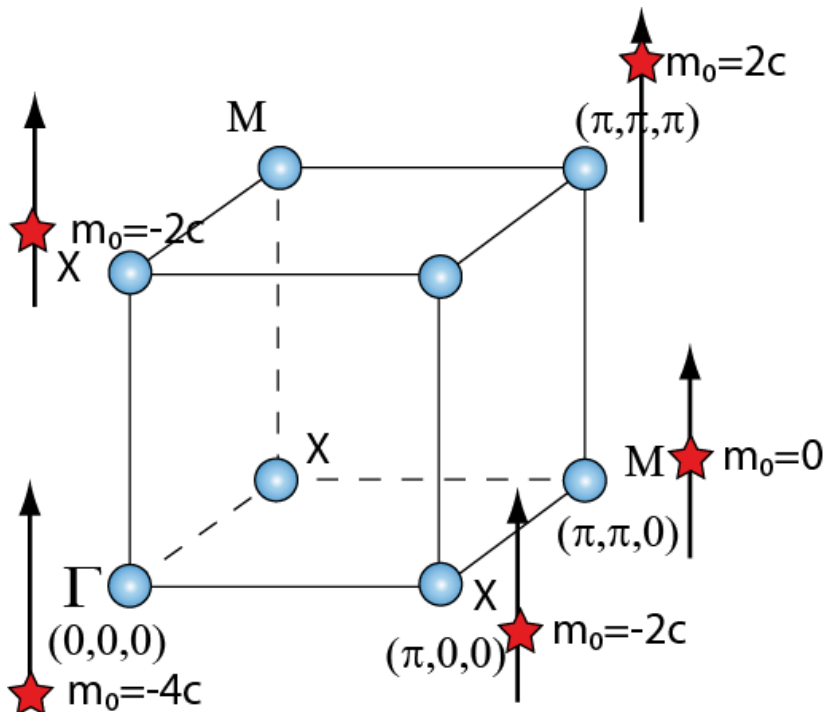
$$H(k) = b_0(k)\Gamma_5 + \sum_{i=1}^4 b_i(k)\Gamma_i, \varepsilon_{\pm} = \pm|\vec{b}(\vec{k})|, [\Gamma_i, \Gamma_j] = \varepsilon_{ijk}\Gamma_k$$

$$b_0(k) = \left(m - c \sum_{i=1}^4 \cos k_i \right), b_i = \sin k_i$$

Condition to get $\varepsilon_{\pm} = \pm|\vec{b}(\vec{k})| = 0$

can be fulfilled only P symmetric system:
1 parameter m is enough !

➔ 8 critical points at BZ corners (Γ_i)

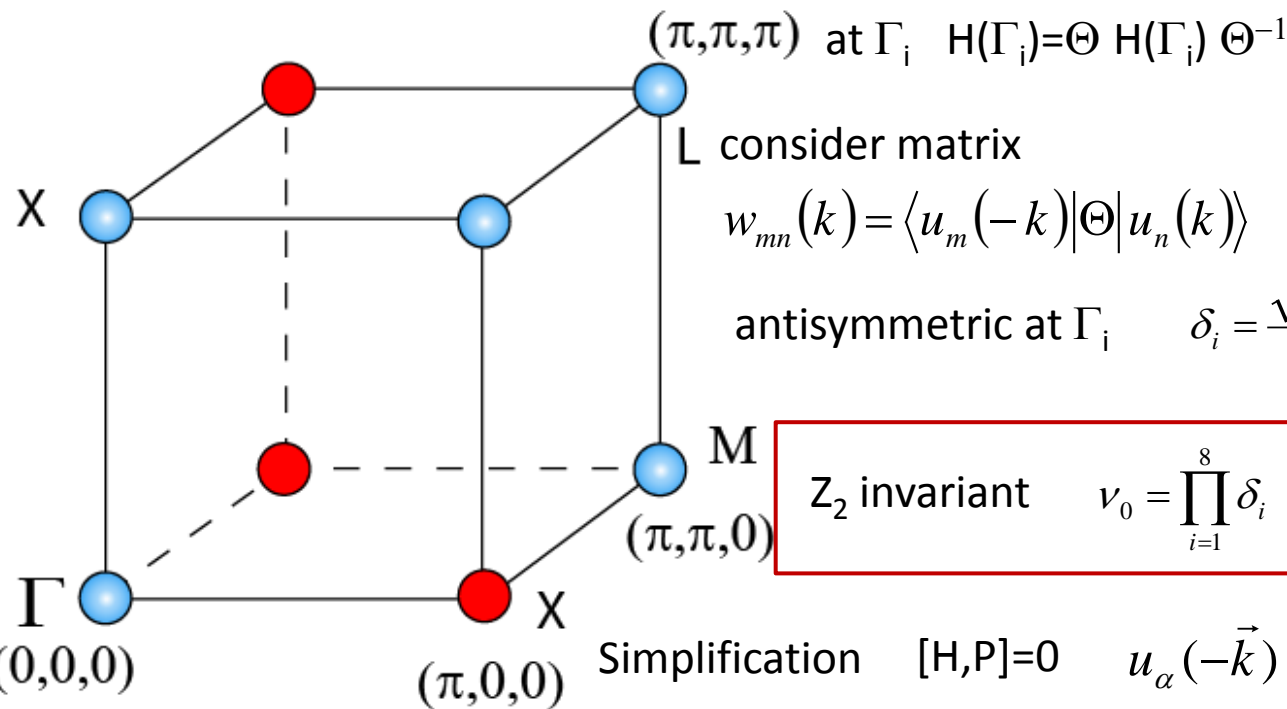


Questions: topology of what ?
what's special at the Γ_i ?
How can do I find topological numbers

A 3 dimensions: invariant $Z_2 \equiv \text{signe } \pm 1$

Time reversal symmetry Θ Antiunitary op [$e^{i\pi\sigma_y}$ K] $\Theta^2 = -1$

T-symmetric Hamiltonian $[H, \Theta] = 0$ spin 1/2 $H(-k) = \Theta H(k) \Theta^{-1}$



$u_\alpha(\Gamma_i), \Theta u_\alpha(\Gamma_i)$
degenerate
Kramers doublets

Z_2 invariant $\nu_0 = \prod_{i=1}^8 \delta_i$ 3 more $\nu_\alpha = \prod_{i=1}^4 \delta_i$

$\delta_i = \prod_m \xi_m$ # of odd-parity bands below Fermi level

Push a P band above ϵ_F
topological phase transition